

# MODELAGEM E CONTROLE DE UM CONVERSOR BOOST CC-CC EM MODO DE CONDUÇÃO CONTÍNUA

Primeiro A. Autor e Adriano Ruseler

Universidade Tecnológica Federal do Paraná – UTFPR, Curitiba – PR, Brasil

ORCID: 0000-0003-0915-9483 e 0000-0003-0915-9483

e-mail: prime\_iro@alunos.utfpr.edu.br e ruseler@utfpr.edu.br

**Resumo** – O resumo deve ser conciso e ao mesmo tempo refletir o que é apresentado no artigo, cujo entendimento deve independe da leitura do trabalho, sem notas de rodapé, abreviações e referências. Deve ser escrito em apenas um parágrafo, de forma impessoal, sem equações ou tabelas. Evite repetir expressões ou utilizar varias vezes a mesma palavra. Busque encadear as frases em um início, meio e fim.

**Palavras-chave** – Os autores devem apresentar um conjunto de até seis palavras-chave (em ordem alfabética, todas iniciais maiúsculas e separadas por vírgula) que possam identificar os principais tópicos abordados.

## MODELLING AND CONTROL OF A DC-DC BOOST CONVERTER IN CONTINUOUS CONDUCTION MODE

**Abstract** – The abstract must be a concise yet comprehensive reflection of what is in your article, a microcosm of the full article. The abstract must be written as one paragraph, and should not contain displayed mathematical equations or tabular material. Ensure that your abstract reads well and is grammatically correct.

**Keywords** – The abstract should include three or four different keywords or phrases, as this will help readers to find it. It is important to avoid over-repetition of such phrases as this can result in a page being rejected by search engines. For a list of suggested keywords, [http://www.ieee.org/organizations/pubs/ani\\_prod/keywrd98.txt](http://www.ieee.org/organizations/pubs/ani_prod/keywrd98.txt)

## I. INTRODUÇÃO

A seção de Introdução tem o objetivo geral de apresentar a natureza do problema abordado no trabalho, através de adequada revisão bibliográfica, o propósito e a contribuição do artigo submetido.

A introdução requer uma breve revisão da literatura referente ao tópico de pesquisa. A introdução é então melhor construída como um funil descritivo, começando com temas gerais e focando lentamente no trabalho em questão. Talvez de três a quatro parágrafos sejam necessários. Uma abordagem pode ser começar com um ou dois parágrafos

que introduzam o leitor para o estudo de campo geral. Os parágrafos subsequentes então descrevem como um aspecto deste campo poderia ser melhorado. O parágrafo final é essencial. Ele afirma claramente, provavelmente na primeira frase do parágrafo, qual questão experimental será respondida pelo estudo. A hipótese é então indicada. Em seguida, descreve brevemente a abordagem que foi feita para testar a hipótese. Finalmente, uma frase de resumo pode ser adicionada informando como a resposta da sua pergunta vai contribuir para o campo geral de estudo Figura 1.

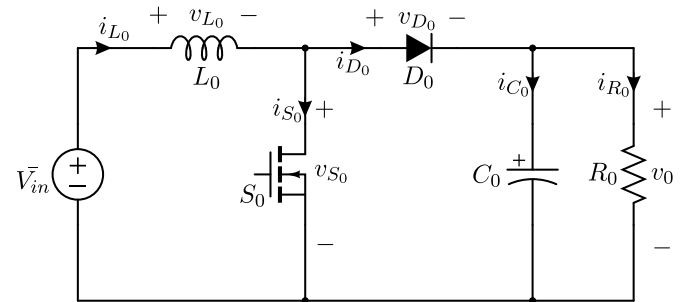


Fig. 1. Conversor Boost.

## A. Parâmetros de projeto do conversor Boost

A Tabela I apresenta os parâmetros de projeto do conversor Boost.

atualize os valores da tabela, arquivo *Buck\_parametros.tex*

TABELA I

Parâmetros de projeto do conversor Boost referente ao registro acadêmico de número 1019252

Símbolo	Descrição	Valor
$f_s$	Frequência de comutação	32,50 kHz
$f_s$	Frequência de amostragem	65 kHz
$V_i$	Tensão média de entrada	75 V
$V_0$	Tensão média de saída	175 V
$P_0$	Potência processada	1000 W
$R_0$	Resistência de carga	30,63 $\Omega$
$\Delta i_{L_0}$	Ondulação de corrente	70 %
$\Delta v_{C_0}$	Ondulação de tensão	2 %
$L_0$	Indutância	329,67 $\mu\text{H}$
$C_0$	Capacitância	28,71 $\mu\text{F}$

## II. VERIFICAÇÃO DO PONTO DE OPERAÇÃO VIA SIMULAÇÃO

A análise teórica apresentada anteriormente deve ser verificada por simulação [3].

Artigo compilado em 25 de novembro de 2017 às 16:11h, referente Atividade Prática Supervisionada (APS) da disciplina de Eletrônica de Potência – ET76C, ministrada pelo Prof. Adriano Ruseler, Dr. Eng.  
Repositório: <https://github.com/AdrianoRuseler/ET76C-APS>

A Tabela II apresenta o ponto de operação do conversor Boost. **atualize os valores da tabela, arquivo *Buck\_steadystate.tex***

**TABELA II**

Ponto de operação do conversor Boost referente ao registro acadêmico de número 1019252

Símbolo	Descrição	Valor
$G$	Ganho estático	2,33
$D$	Razão cíclica	57,14 %
$I_0$	Corrente média na carga	5,71 A
$I_{L0}$	Corrente média no indutor	13,33 A
$R_a$	Resistência de medição	820 k $\Omega$
$R_b$	Resistência de medição	2,70 k $\Omega$
$H_v$	Ganho de medição (tensão)	3,28 mV V <sup>-1</sup>
$R_s$	Resistência shunt	0,10 $\Omega$
$H_i$	Ganho de medição (corrente)	0,10 A A <sup>-1</sup>
$V_C$	Tensão de controle	0,57 V
$V_{CM}$	Tensão máxima de controle	1 V
$V_{Cm}$	Tensão mínima de controle	0 V

A Tabela III apresenta uma comparação dos valores teóricos com os obtidos por simulação para o ponto de operação do conversor Boost. **atualize os valores da tabela, arquivo *Boost\_steadystatesim.tex***

**TABELA III**

Comparação dos valores teóricos e simulados para o ponto de operação do conversor Boost referente ao registro acadêmico de número 1019252

Símbolo	Teórico	Simulado	Descrição
$I_{L0}$	13,33 A	13,33 A	Corrente média
$\Delta i_{L0}$	9,33 A	4,01 A	Ondulação de corrente
$V_{C0}$	175 V	174,89 V	Tensão média
$\Delta v_{C0}$	3,50 V	3,58 V	Ondulação de tensão

A Figura 2 apresenta a resposta da simulação do ponto de operação do conversor. **compare se os valores simulados com os parâmetros de projeto...**

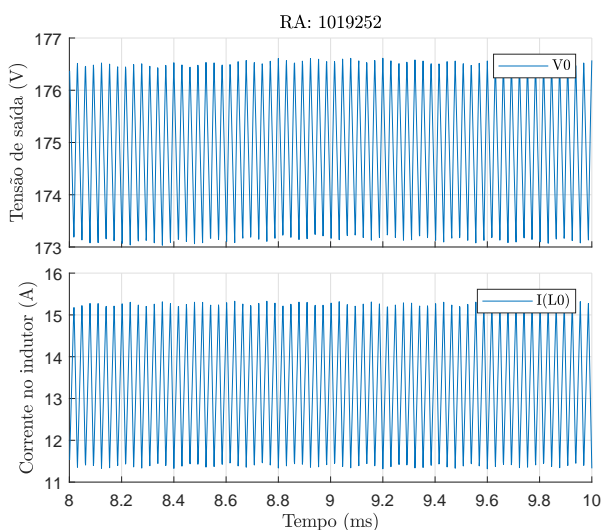


Fig. 2. Verificação do ponto de operação do conversor Boost.

### III. VERIFICAÇÃO DO MODELO DINÂMICO VIA SIMULAÇÃO

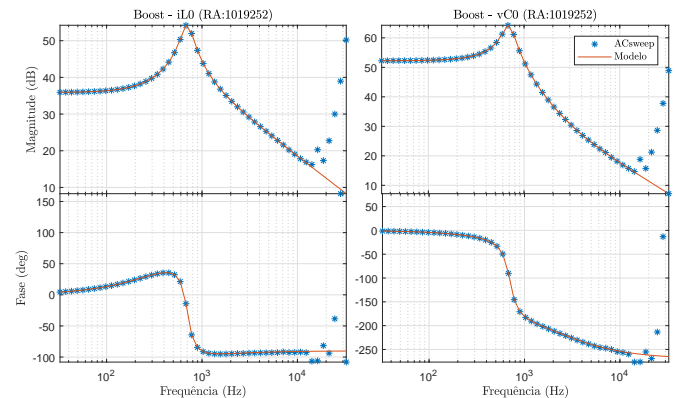


Fig. 3. Comparação do diagrama de Bode das funções de transferência em função da razão cíclica obtida via simulação no PSIM.

### IV. PROJETO DO CONTROLADOR DE TENSÃO

Detalhes do projeto do controlador de tensão

**TABELA IV**

Resposta ao degrau de referência de tensão  $v_{C0}$  do conversor Boost, registro acadêmico de número 1019252

Descrição	Valor
Ganho proporcional	0
Ganho integral	279,26
Margem de ganho	9,10 dB
Margem de fase	87,46°
Frequência de cruzamento	377,01 rad s <sup>-1</sup>
Tempo de subida	7,51 ms
Tempo de acomodação	7,94 ms
Tensão máxima de acomodação	304,52 V
Tensão mínima de acomodação	290,75 V
Sobresinal	0 V
Tensão de pico	304,52 V
Tempo da tensão de pico	18,84 ms

A. Implementação analógica do controlador PI

B. Implementação digital do controlador PI

O Código-fonte 1 atribui os valores das constantes do controlador PI de tensão implementado.

Código-fonte 1: Parâmetros do controlador PI digital de tensão.

```
// Constantes do controlador
double a0z = 1.00000000e+00;
double a1z = -1.00000000e+00;
double b0z = 5.30305662e-05;
double b1z = -4.65043351e-05;
```

O Código-fonte 2 apresenta a rotina que implementa o controlador PI...

**TABELA V**

Resposta ao degrau de referência de tensão  $v_{C0}$  do conversor Buck, registro acadêmico de número 1234567, implementado com Amplificador Operacional.

Descrição	Valor
Ganho proporcional	$1,22 \times 10^{-5}$
Ganho integral	369,55
Resistor do controlador PI $R_{1PI}$	820 k $\Omega$
Resistor do controlador PI $R_{2PI}$	10 $\Omega$
Resistor do controlador PI $C_{1PI}$	3,30 nF
Tempo de subida	7,41 ms
Tempo de acomodação	7,70 ms
Tensão máxima de acomodação	225,84 V
Tensão mínima de acomodação	215,16 V
Sobresinal	0 V
Tensão de pico	225,84 V
Tempo para a tensão de pico	18,25 ms

Código-fonte 2: Implementação do controlador PI digital de tensão.

```
e0=in[0]; // Erro atual
// Calcula saída atual
u0= (e0*b0z+e1*b1z-u1*a1z)/a0z;
u1=u0; // Atualiza saída anterior
e1=e0; // Atualiza erro anterior
out[0] = u0; // Saída do controlador
```

### C. Comparação entre as respostas ao degrau de referência

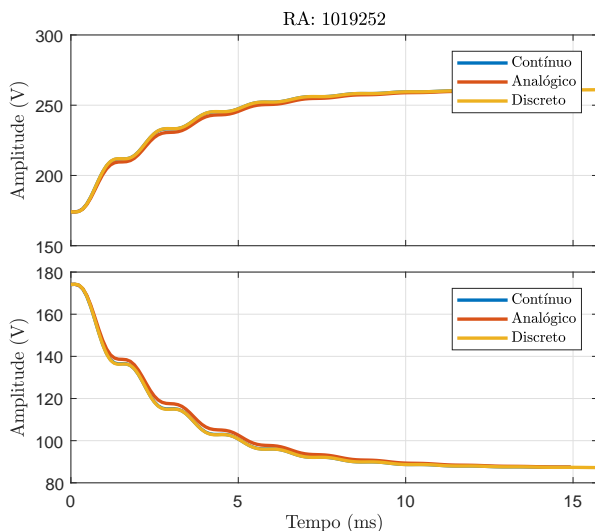


Fig. 4. Resposta ao degrau de referência de tensão.

## V. IMPLEMENTAÇÃO COM DUAS MALHAS

A Figura 5 apresenta o resultado da simulação da resposta ao degrau de referência de tensão....

A Figura 6 apresenta o resultado da simulação da resposta ao degrau de referência de tensão....

**TABELA VI**

Resposta ao degrau de referência de tensão  $v_{C0}$  do conversor Boost, registro acadêmico de número 1019252, com controle de duas malhas.

Descrição	Valor
Ganho proporcional (controle de corrente)	0,84
Ganho integral (controle de corrente)	23409,92
Ganho proporcional (controle de tensão)	0
Ganho integral (controle de tensão)	1774,55
Tempo de subida	50,54 ms
Tempo de acomodação	51,43 ms
Tensão máxima de acomodação	304,70 V
Tensão mínima de acomodação	290,11 V
Sobresinal	0 V
Tensão de pico	304,70 V
Tempo para a tensão de pico	181,01 ms

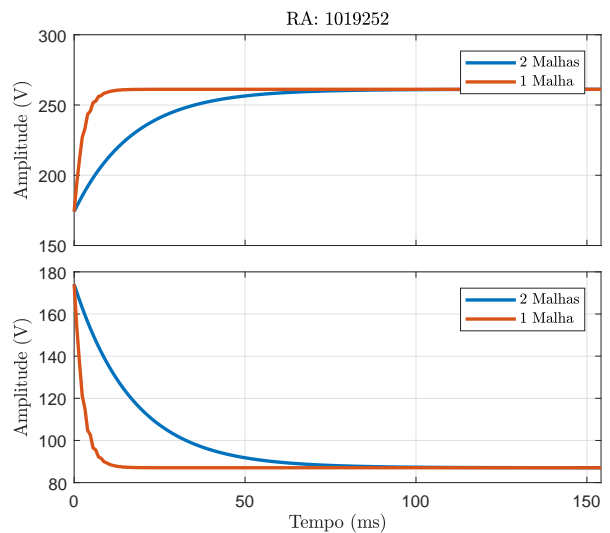


Fig. 5. Comparação da resposta ao degrau de referência de tensão para a implementação com uma malha e com duas malhas.

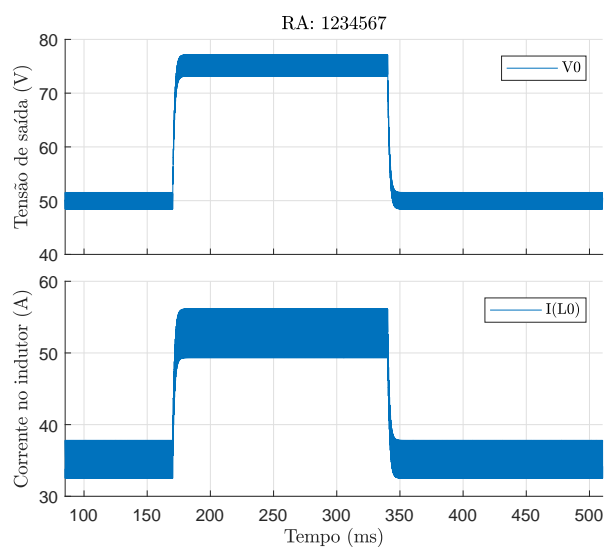


Fig. 6. Resposta ao degrau de referência de tensão com duas malhas de controle.

## VI. CONCLUSÕES

As conclusões devem ser as mais claras possíveis, informando aos leitores sobre a importância do trabalho dentro do contexto em que se situa. As vantagens e desvantagens em relação aos já existentes na literatura devem ser comentadas, assim como os resultados obtidos e as possíveis aplicações práticas do trabalho.

## REFERÊNCIAS

- [1] I. Barbi and D. C. Martins, *Conversores CC-CC Básicos Não-Isolados*, E. dos Autores, Ed., 2006.
- [2] “PTC Mathcad | PTC.” [Online]. Available: <https://www.ptc.com/en/mathcad-download>
- [3] “PSIM Electronic Simulation Software | Powersim.” [Online]. Available: <https://powersimtech.com/>